

Corrosividade em Estruturas e Acessórios: Desenvolvimento de tecnologias aplicadas à operação e manutenção de LT's

Palestrante: Fernando Almeida Diniz







AGENDA & OBJETIVO



Desafios
enfrentados pela
ARGO frente à
corrosão em suas
linhas de
transmissão e
tecnologias em
desenvolvimento
para otimização das
atividades de
manutenção



Objetivo

ARGO ENERGIA

Falhas e defeitos em LTs

PD ANEEL: 010737-0002/2022

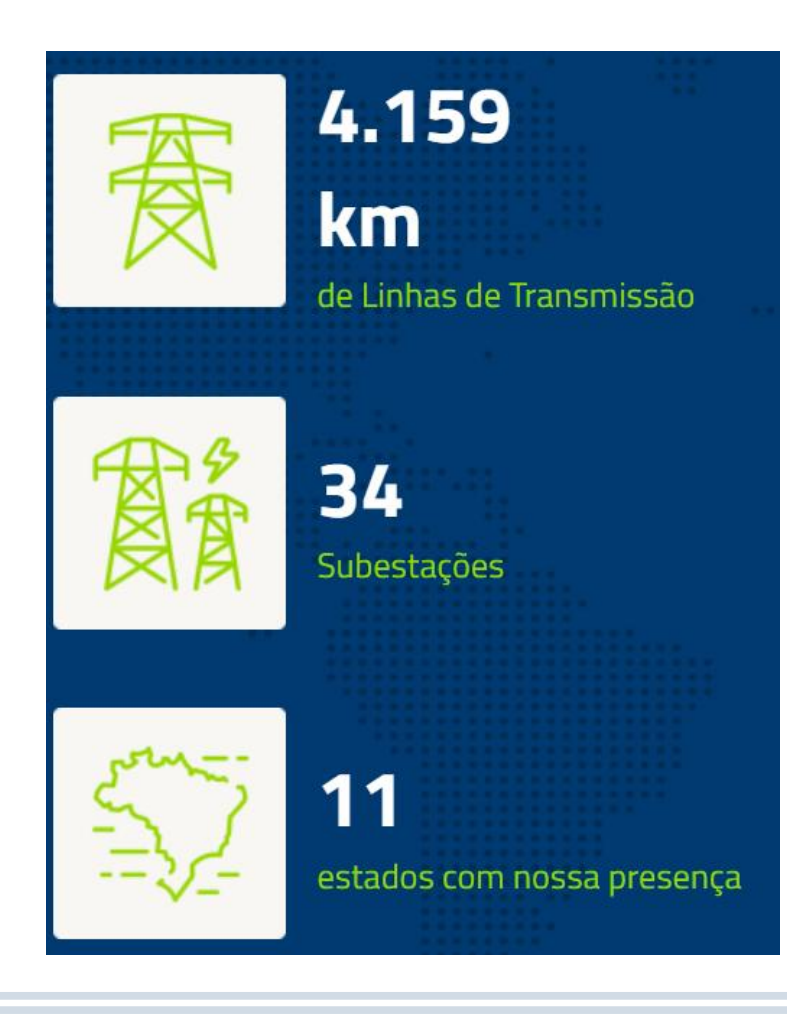






ARGO ENERGIA OIGO









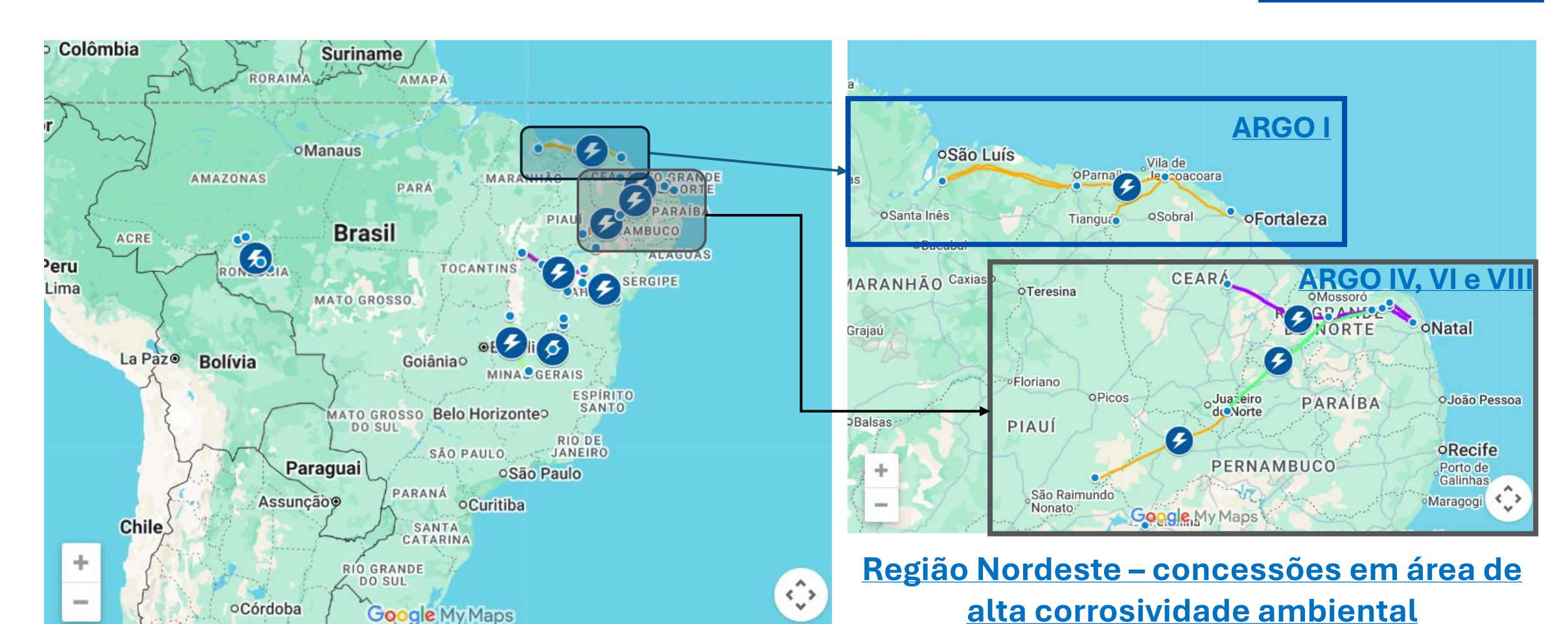






ARGO ENERGIA QIZO













ARGOI

- Corrosão atmosférica devido à proximidade com mar
- Apontamento de defeitos por corrosão em cabos de aço, estruturas e acessórios gerais dos cabos

ARGO IV

- Sem indicação aparente de atmosfera corrosiva.
- Corrosão em cabos para raios no interior de esfera de sinalização.

ARGO VI

- Corrosão atmosférica devido à proximidade com mar.
- Apontamento de corrosão em cabos de aço, estruturas e acessórios gerais dos cabos
- Corrosão em hastes de fundações Viga – L.

ARGO VIII

- Corrosão atmosférica devido à proximidade com mar.
- Apontamento de corrosão em cabos de aço, estruturas e acessórios gerais dos cabos

ARGO III, V, VII, IX

- Sem indicação aparente de atmosfera corrosiva
- Sem apontamentos relevantes de defeitos por corrosão nos elementos das linhas de transmissão.

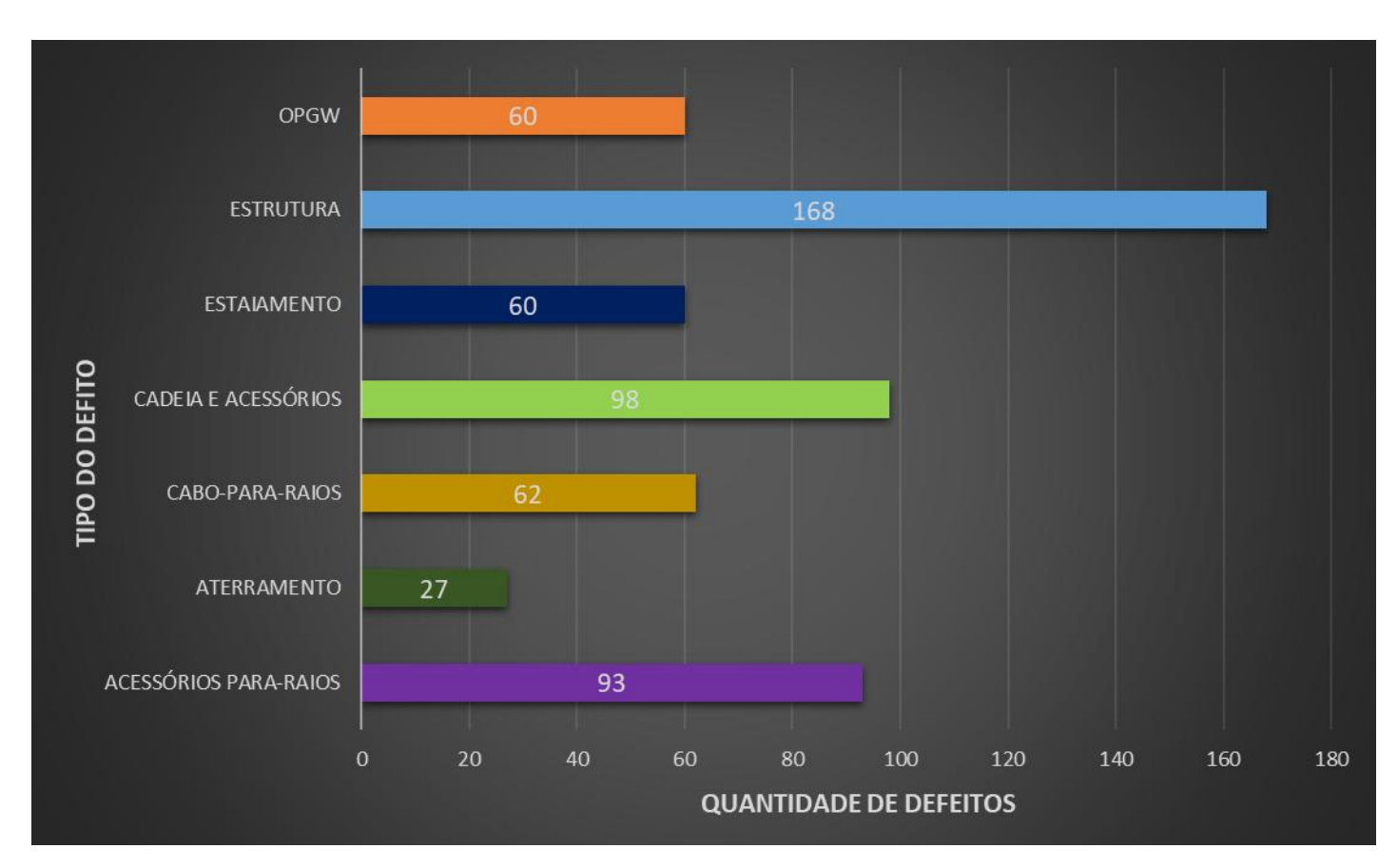






ARGO I

















ARGO I



ACESSÓRIOS CABOS PARA-RAIOS



ACESSÓRIOS CABO DE ESTAI



CABO PARA - RAIOS 3/8" EHS

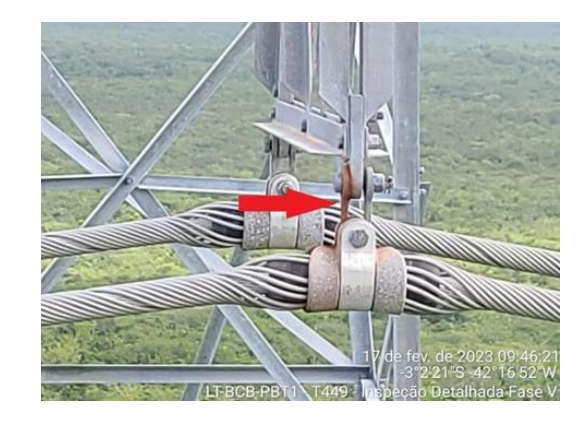


ACESSÓRIOS OPGW



CADEIAS E ACESSÓRIOS





ESTRUTURAS













ARGO IV - LT 500 kV Milagres II - Queimada Nova II

SELTE SEMINÁRIO DE LINHAS DE TRANSMISSÃO DE ENERGIA

- Ocorrência de queda de cabo 3/8" EHS devido à corrosão no interior da esfera de sinalização;
- Sem indicação aparente de atmosfera corrosiva;
 - Defeito similar em LT paralela de outra concessionária
- Outro ponto do cabo, mesma travessia, com sinais de corrosão vermelha;
- Causa raiz: em estudo...

















ARGO IV - LT 500 kV Milagres II - Queimada Nova II



- Substituição das esferas outrora instaladas;
- Encontrados defeitos nos quatro tipos de cabo da linha de transmissão.
 - Aço 3/8" EHS;
 - OPGW 12,4 mm;
 - CAA Dotterel;
 - OPGW 15,6 mm.
- Encontrados defeitos ao longo da LT

















ARGO VI



Introdução sobre a Ocorrência

Após contato da gerência de O&M da Argo sobre a ocorrência informada pela empreiteira do roço na LT Açu III / João Câmara III foi detectada deflexão num dos estais na torre 124, município de Afonso Bezerra/RN. Posteriormente, foi acionada as equipes para uma inspeção minuciosa no local e para análise prévia e levantamento de recursos para atendimento. Abaixo fotos do sinistro.







Introdução sobre a Ocorrência

A gerência regional de O&M Cymi comunicou a gerência de O&M da Argo sobre a ocorrência na torre 62 da LT Ceará Mirim II / João Câmera III (LT 05L4 CID/JCT), o rompimento do estai B que ocasionou certa deflexão na referida torre, localizada no município de Taípu/RN. Posteriormente, foi acionada as equipes para uma inspeção minuciosa no local para análise prévia e levantamento de recursos para atendimento. Abaixo fotos do sinistro.

















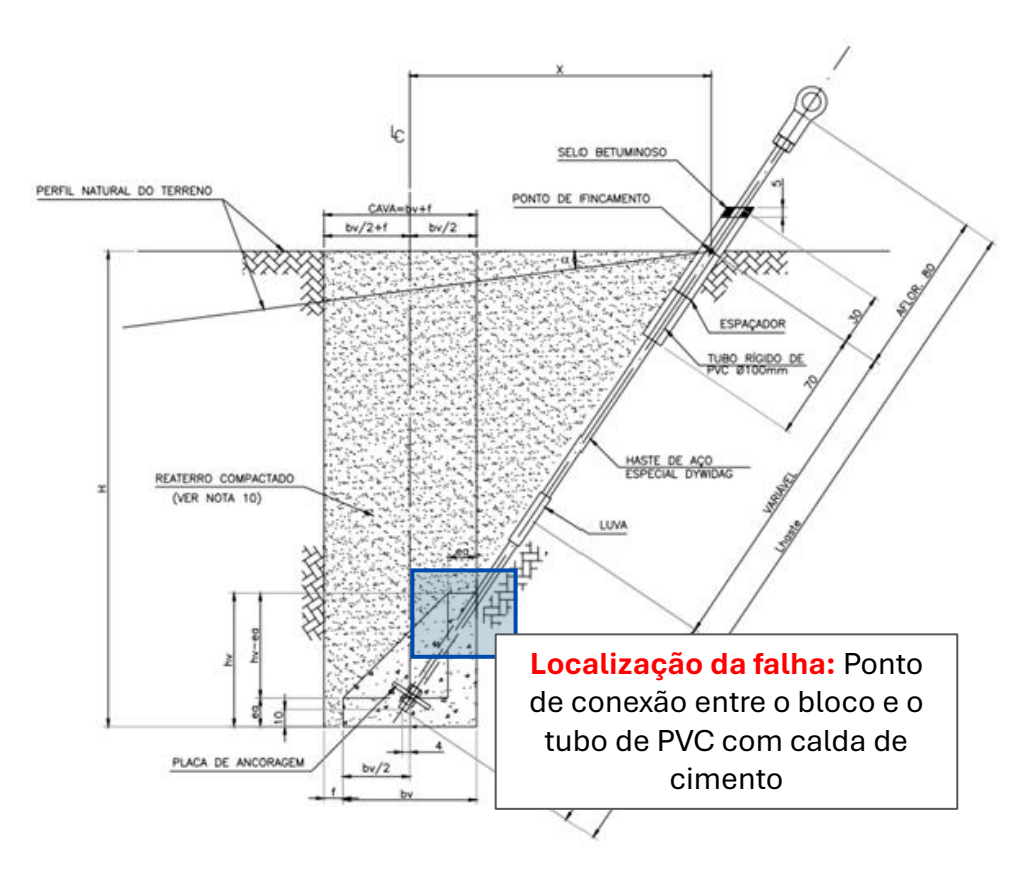


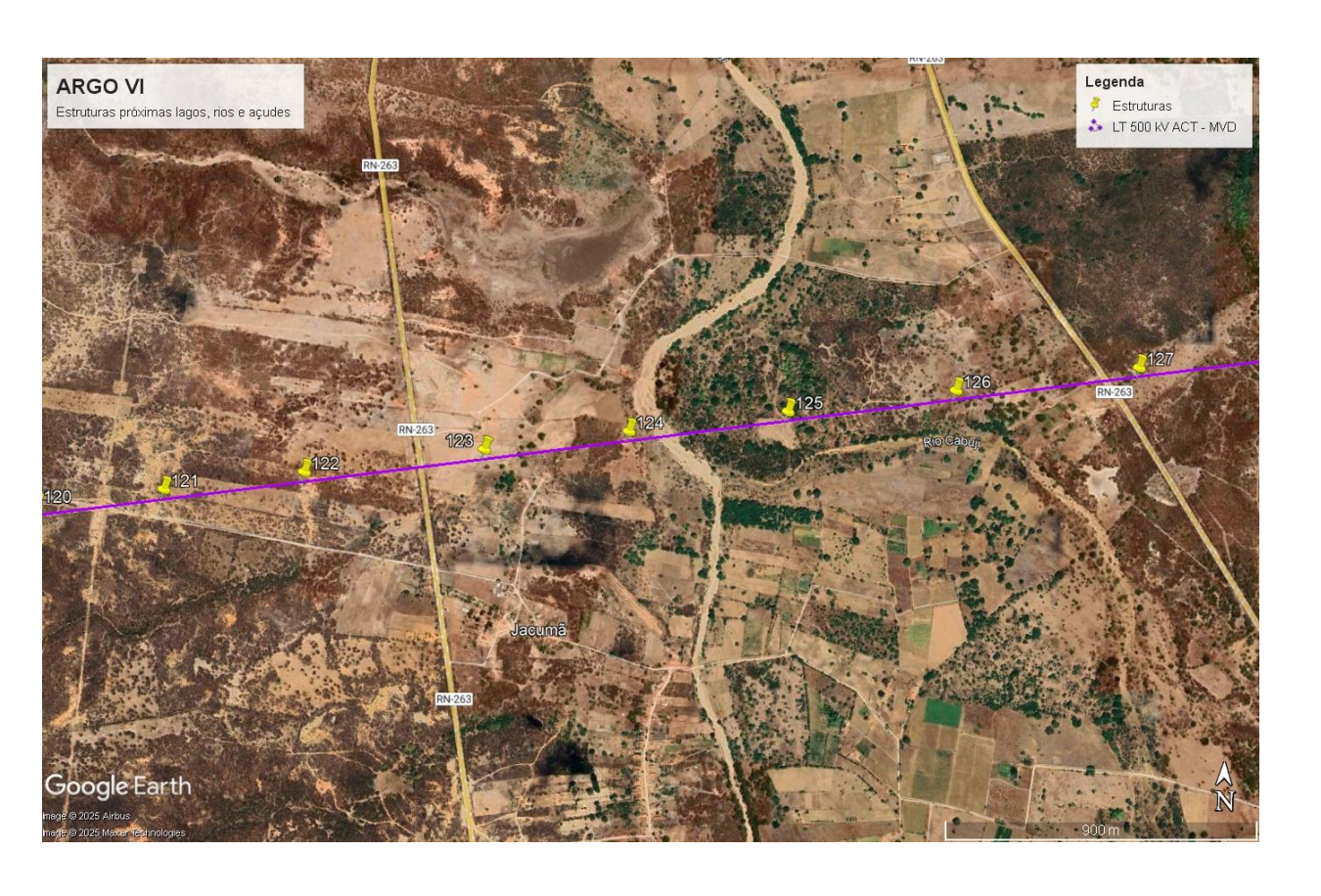


ARGO VI



FUNDAÇÃO EM VIGA L









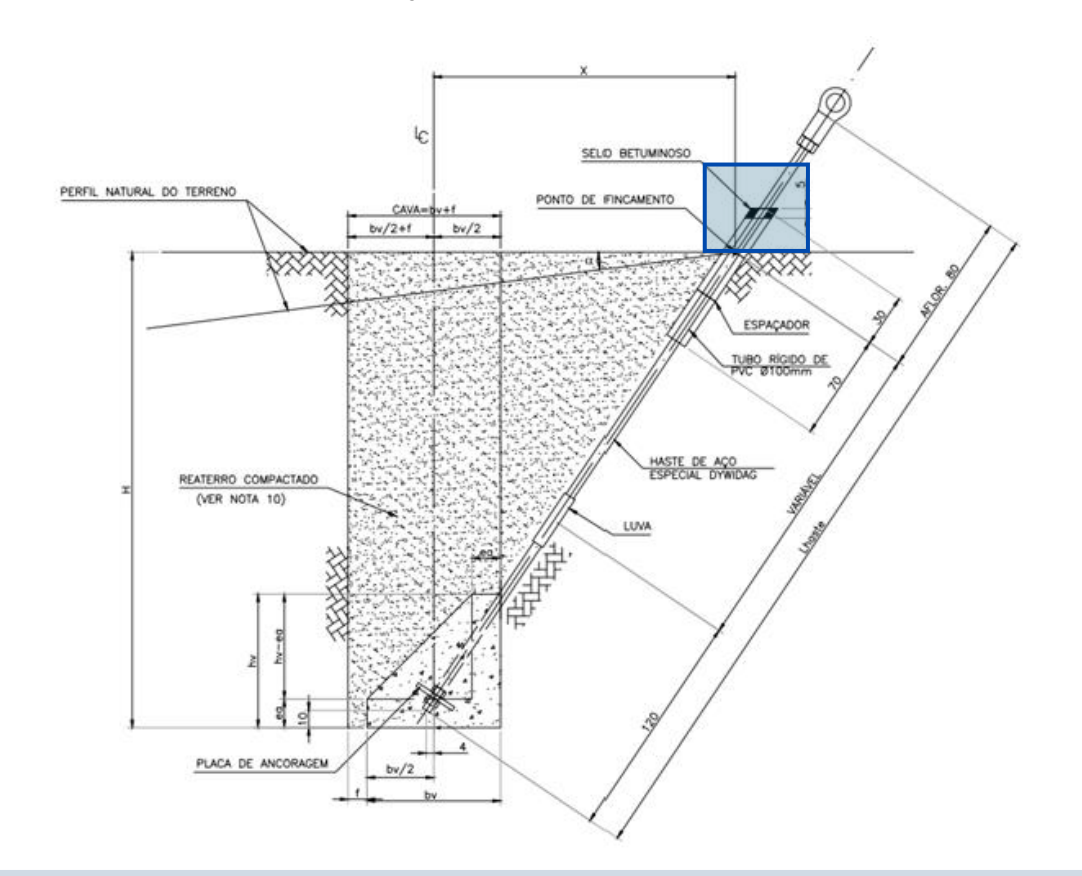




ARGO VI



FUNDAÇÃO EM VIGA L



- > Perda do selo betuminoso;
- Acumulo de água no cano de PVC;
- Corrosão da haste da fundação na saída da calda de cimento.

















Ção

nspe

• O que fazemos hoje?

- Inspeções tradicionais terrestres rápida ou detalhada.
- Nosso objetivo...
- Inspeções aéreas, missões automatizadas com drone e incorporação em plataforma de gestão com gêmeo digital das instalações.



• O que fazemos hoje?

- Classificação em 03 graus de severidade a partir de análise do corpo técnico ARGO.
- Nosso objetivo...
- Classificação inteligente utilizando IA em desenvolvimento em conjunto com LACTEC.



de

0

žΦ

ĄČ



- Monitoramento.
- Grau II:
- Aplicação de tratamento anticorrosivo.
- Grau III:
- Substituição das peças metálicas corroídas por sobressalentes









Rede neural artificial com ia aplicada na avaliação da taxa de corrosão de LTs da ARGO ENERGIA



➤ Desenvolvimento de uma metodologia experimental e numérica baseada na análise, validação normatizada e extrapolação de dados existentes e experimentais para o mapeamento da corrosividade atmosférica e da incidência de falhas por corrosão em instalações nas áreas de concessão ARGO.









Rede neural artificial com IA aplicada na avaliação da taxa de corrosão de LTs da ARGO ENERGIA

ETAPA I: SELEÇÃO DOS PONTOS DE AMOSTRAGENS

	COOR	DENADAS [DAS TORRES CENTRAIS DA LT, ARGO I	
Agressividade	LT	Torre	Coordenadas	Distâncias do mar (km)
Alta	Bacabeira – Parnaíba C2	296	2°53'52.7" (S) 42°59'29.5" (O)	43
Alta	Acaraú - Tianguá	36	3°00'25.77" (S) 40°12'41.58" (O)	20
Média	Acaraú - Pecém	119	3°12'07.14" (S) 39°40'19" (O)	17
Baixa	Acaraú -Tianguá	309	3°46′17.72" (S) 41°1′52.32" (O)	97
	COORD	ENADAS D	AS SUBESTAÇÕES DE ENERGIA, ARGO I	
	SE	LOCAL	Coordenadas (GEOGRÁFICAS)	Distâncias do mar (km)
SE	PARNAÍBA	PI	3°07'24" (S), 41° 45'57.32" (O)	30
SE	ACARAÚ	CE	2°56′08.79″ (S) 40°06′15.56″ (O)	11
SE	BACABEÍRA	MA	3°01'13.17" (S) 44°17'52.12" (O)	17
SE	TIANGUÁ	CE	3°46′14.67" (S) 41°01′50.41" (O)	97
SE	PECÉM	CE	3°36′′03.23.24″″ (S) 38°52′2.03″24.03″ (O)	7









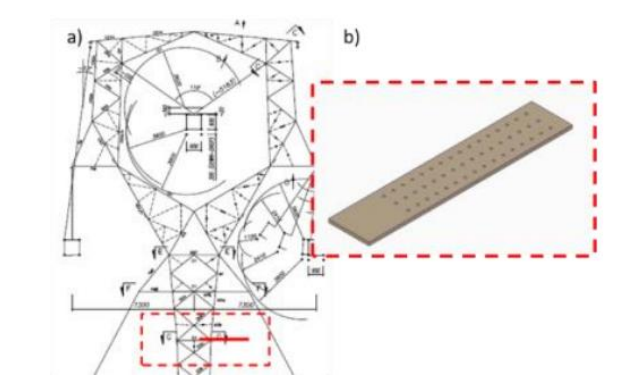


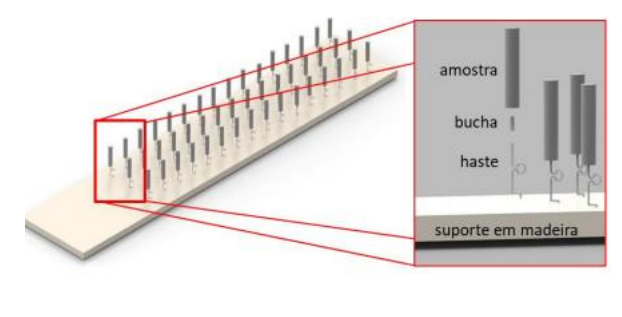


Rede neural artificial com IA aplicada na avaliação da taxa de corrosão de LTs da ARGO ENERGIA

ETAPA II: CORPOS DE PROVA METÁLICOS

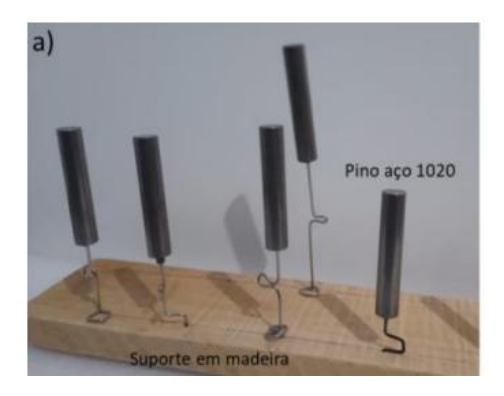
- Cabos metálicos:
 - Alumínio: CAL/1120, 61 fios, φ=29,4 mm;
 - Aço: Aço 3/8" EHS, 7 fios, φ=9,52 mm.
- Cilindros metálicos:
 - Aço carbono 1020;
 - Aço galvanizado à fogo, com espessura do recobrimento de ~ 100 μm;
 - Aço carbono recoberto com banho de níquel de alto fósforo (13%)



















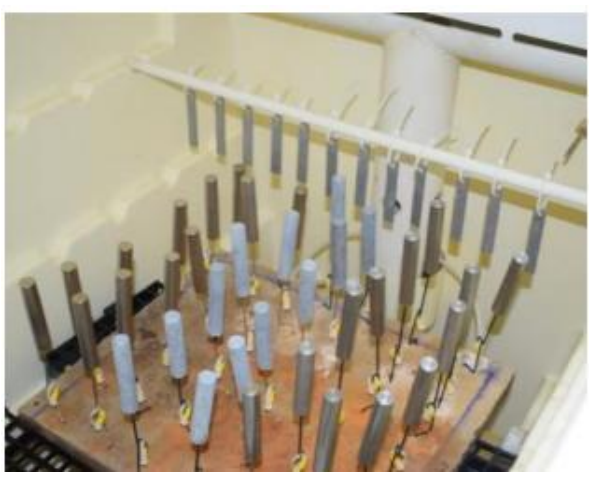


Rede neural artificial com IA aplicada na avaliação da taxa de corrosão de LTs da ARGO ENERGIA

ETAPA III: LEVANTAMETO DE DADOS METEROLÓGICOS DA REGIÃO DE ESTUDO E CARACTERIZAÇÃO DOS CORPOS DE PROVA EM AMBIENTE CONTROLADO

- Instalação de estações meteorológicas, para a obtenção de dados microclimáticos locais (ARGO I).
- > Realização de quatro ensaios em câmara de névoa salina para simulação do ambiente litorâneo, em condição controlada laboratorial.
- Exposição dos corpos de prova em câmara de dióxido de enxofre para a simulação acelerada da atmosfera urbana e industrial
- Cálculo de perda de massa e taxa de corrosão das amostras ensaiadas.
- Disponibilização dos resultados para rede neural.













Rede neural artificial com IA aplicada na avaliação da taxa de corrosão de LTs da ARGO ENERGIA

ETAPA IV: DETERMINAÇÃO DA TAXA DE CORROSÃO DOS CUPONS METÁLICOS INSTALADOS EM CAMPO

- > 1440 cupons de corrosão 480 de cada material.
- > 04 coletas trimestrais, visando um ciclo anual.
- Limpeza química específica para cada tipo de amostra.
- Cálculo de perda de massa e taxa de corrosão das amostras ensaiadas.
- Análises de microscopia eletrônica de varredura (MEV) para complementação dos estudos.
- Disponibilização dos resultados para rede neural.







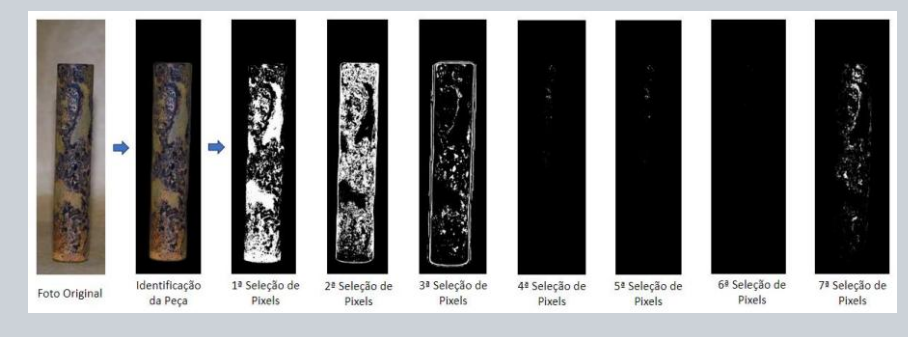




Rede neural artificial com IA aplicada na avaliação da taxa de corrosão de LTs da ARGO ENERGIA

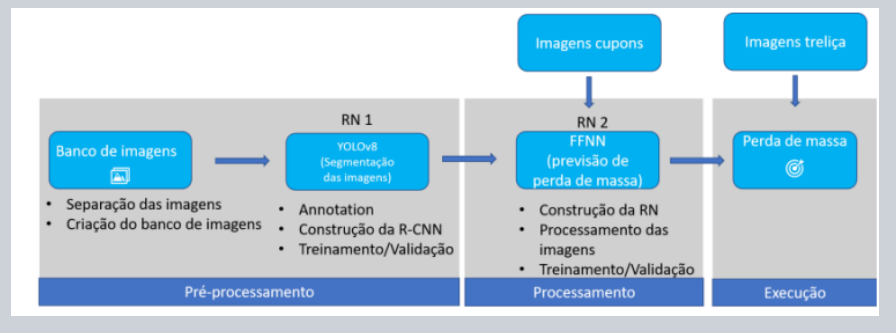
ETAPA V: MODELAGEM NUMÉRICA COMPUTACIONAL - INTELIGÊNCIA ARTIFICIAL





Banco de imagens para treinamento da RN

Uso do Python para conversão em dados



Fluxograma da rede neural para perda de massa





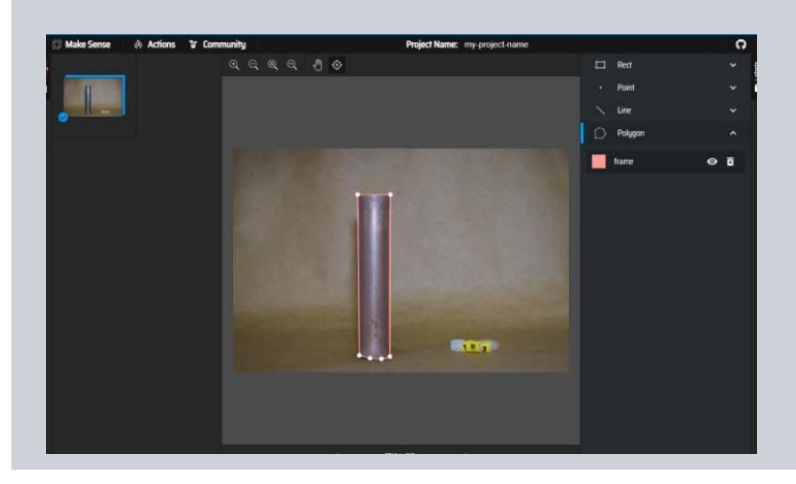




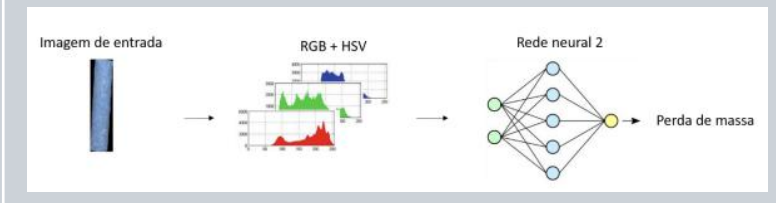
Rede neural artificial com IA aplicada na avaliação da taxa de corrosão de LTs da ARGO ENERGIA

ETAPA V: MODELAGEM NUMÉRICA COMPUTACIONAL - INTELIGÊNCIA ARTIFICIAL

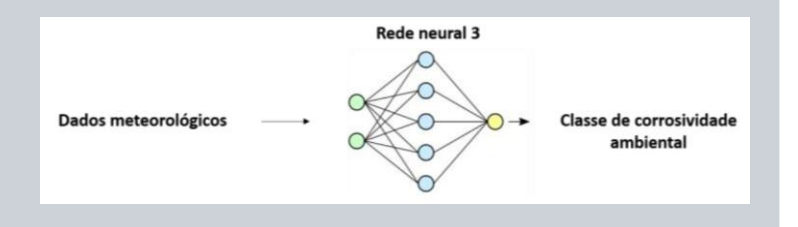
- Rede neural 1: segmentação de imagens (YOLOV8):
 - Annotation;
 - Construção da R-CNN;
 - Treinamento e Validação.



- Rede neural 2: Rede neural FEEDFORWARD para previsão de perda de massa:
 - Imagem segmentada (RN 1)
 é utilizada para treinar,
 validar e testar a RN 2.
 - Realização do cálculo da perda de massa da fotografia da treliça



- > Rede neural 3: Classificação da corrosividade ambiental:
 - Os dados de saída são as classes de corrosão atmosférica.
 - Temperatura, Precipitação, Umidade, Vento (velocidade e direção) e Pressão.





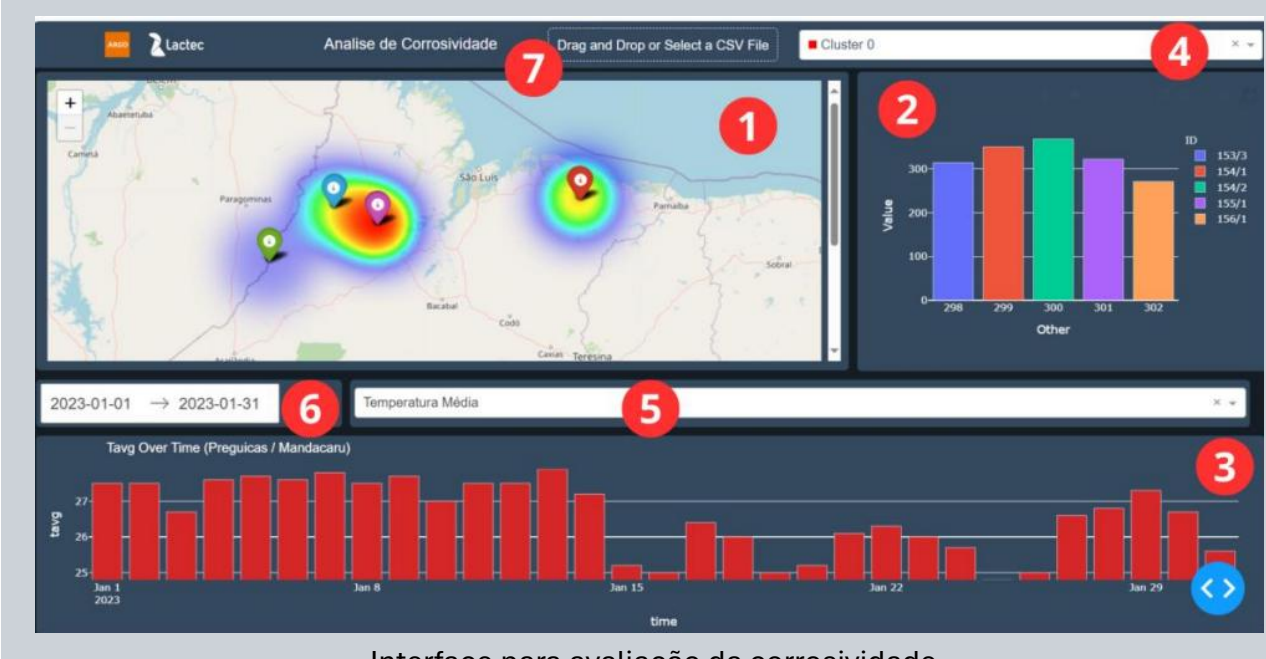






Rede neural artificial com IA aplicada na avaliação da taxa de corrosão de LTs da ARGO ENERGIA

ETAPA V: MODELAGEM NUMÉRICA COMPUTACIONAL - INTELIGÊNCIA ARTIFICIAL



Interface para avaliação da corrosividade

- Mapa para representação visual da distribuição da corrosividade
- (2) Gráfico de barras
 complementa a visualização
 geográfica ao fornecer
 valores dos dados das taxas
 de corrosão











Rede neural artificial com IA aplicada na avaliação da taxa de corrosão de LTs da ARGO ENERGIA

Fases Finais

Extensão do projeto para demais concessões.



- Ampliação do processo de captura de imagens:
 - Sobrevoos;
 - Missões autônomas com drones.



Incorporação de dados de imagens e de rede neural para avaliação da taxa de corrosão em software de criação e gerenciamento de gêmeos digitais das instalações.









Corrosividade em Estruturas e Acessórios: Desenvolvimento de tecnologias aplicadas à operação e manutenção de LT's









